

Новая соразмерная фаза на теоретической фазовой диаграмме для кристалла $[\text{N}(\text{CN}_3)_4]_2\text{CuCl}_4$

© Д.Г. Санников, Г.А. Кессених

Институт кристаллографии им. А.В. Шубникова Российской академии наук,
119333 Москва, Россия

E-mail: sannikov@ns.crys.ras.ru

(Поступила в Редакцию 26 июля 2004 г.)

Построена теоретическая фазовая диаграмма на плоскости двух коэффициентов термодинамического потенциала с новой соразмерной фазой, характеризуемой безразмерным волновым числом $q = 2/5$. На основе этой диаграммы получена фазовая диаграмма температура T –давление P . Проведено сравнение с экспериментальной T – P -фазовой диаграммой.

Работа выполнена при финансовой поддержке Российского фонда фундаментальных исследований (грант № 03-02-16104).

1. Термодинамические потенциалы

Фазовая диаграмма температура T –давление P для кристалла $[\text{N}(\text{CN}_3)_4]_2\text{CuCl}_4$ (ТМА — CuCl), измененная методом рассеяния рентгеновских лучей при $T = 22$ – 160°C , $P = 0.25$ – 0.95 ГПа, приведена в [1]. От ранее полученных фазовых диаграмм [2–4] она отличается присутствием соразмерной фазы $C_{2/5}$ с безразмерным волновым числом $q_{2/5} = 2/5$. Цель данной работы — получить теоретическую T – P -фазовую диаграмму с фазой $C_{2/5}$, основываясь на феноменологическом подходе, разработанном в [5,6] (см. также [7,8]). Не повторяя изложения теоретического подхода, начнем с записи термодинамических потенциалов для исходной C (симметрия $P63cn$), несоразмерной IC и соразмерной $C_{m/l}$ фаз, где m/l определяет значение соответствующего волнового числа $q = q_{m/l} = m/l$ ($C_{0/1}$ — фаза с волновым числом $q = 0$),

$$\begin{aligned}\Phi_{IC} &= \alpha(b)\rho^2 + \beta\rho^4 + \gamma\rho^6, \\ \Phi_{m/l} &= \alpha(q_{m/l})\rho^2 + \beta\rho^4 + \gamma\rho^6 - \alpha'_l\rho^{2l} \cos 2l\varphi, \\ \Phi_{0/1} &= \alpha\xi^2 + (2/3)\beta\xi^4 + (2/5)\gamma\xi^6.\end{aligned}\quad (1)$$

Потенциал исходной фазы $\Phi_C = 0$. Несмотря на то, что в (1) коэффициент $\beta > 0$, необходимо учитывать инвариант с коэффициентом γ ($\gamma > |\alpha'_3|$), поскольку вдали от перехода C – IC выражение для $\Phi_{1/3}$ становится при $\gamma = 0$ неприменимым. Инвариант с коэффициентом γ необходимо учитывать, очевидно, во всех потенциалах.

Зависимость коэффициента упругости $\alpha(q)$ мягкой оптической ветви от безразмерного волнового числа ($k_z = qc^*$) определяется выражением

$$\alpha(q) = \alpha - \delta q^2 - \kappa q^4 + \tau q^6, \quad \kappa > 0, \quad \tau > 0, \quad (2)$$

которое можно переписать в виде

$$\begin{aligned}\alpha(q) &= a + \Delta(q), \quad \Delta(q) = \tau(b^2 - q^2)^2[q^2 + 2(b^2 - q_L^2)], \\ \alpha(b) &= a, \quad \alpha(q_{m/l}) = a + \Delta_{m/l}, \quad \Delta_{m/l} = \Delta(q_{m/l}), \quad \alpha = a + \Delta_0, \\ \Delta_0 &= \Delta(0), \quad \delta = \tau b^2(3b^2 - 4q_L^2), \quad q_L^2 = \kappa/2\tau,\end{aligned}\quad (3)$$

где a и b — координаты минимума мягкой ветви (2) в произвольной точке зоны Бриллюэна.

Варьируя потенциал $\Phi_{m/l}$ в (1) по φ , получим два решения: $\sin l\varphi = 0$, устойчивое при $\alpha'_l > 0$, и $\cos l\varphi = 0$, устойчивое при $\alpha'_l < 0$. Потенциал $\Phi_{m/l}$ приобретает для обоих решений вид

$$\Phi_{m/l} = \alpha(q_{m/l})\rho^2 + \beta\rho^4 + \gamma\rho^6 - |\alpha'_l|\rho^{2l}.\quad (4)$$

Удобно перейти к безразмерным переменным ϕ , R и параметрам A , D_0 , D_l , B , Q_l , Q_L , D , A_γ , A_3 , A_l (Q — число)

$$\begin{aligned}\Phi &= \phi\Phi_0, \quad \rho = RR_0, \quad \xi = RR_0, \quad \Phi_0 = (\tau Q^6)^2/\beta, \\ R_0^2 &= \tau Q^6/\beta, \quad a = -A\tau Q^6, \quad \Delta_0 = D_0\tau Q^6, \\ \Delta_{m/l} &= D_l\tau Q^6, \quad b = BQ, \quad q_{m/l} = Q_lQ, \\ q_L &= Q_LQ, \quad \delta = D\tau Q^4, \quad \gamma = (2\beta A_\gamma)^2/\tau Q^6, \\ |\alpha'_3| &= (2\beta A_3)^2/\tau Q^6, \quad |\alpha'_l| = (2\beta A_l)^{l-1}/(\tau Q^6)^{l-2}.\end{aligned}\quad (5)$$

Термодинамические потенциалы (1) для Φ_{IC} , $\Phi_{0/1}$ и (4) для $\Phi_{m/l}$ приобретают теперь вид

$$\begin{aligned}\phi_{IC} &= -AR^2 + R^4 + 4A_\gamma^2R^6, \\ \phi_{m/l} &= -(A - D_l)R^2 + R^4 + 4A_\gamma^2R^6 - (2A_l)^{l-1}R^{2l}, \\ \phi_{0/1} &= -(A - D_0)R^2 + (2/3)R^4 + (8/5)A_\gamma^2R^6.\end{aligned}\quad (6)$$

Варьируя потенциалы (6) по переменной R , получим

$$\begin{aligned}\phi_{IC} &= -(1/6^3 A_y^4) \{ [1 + 12A_y^2 A]^3 - [1 + 18A_y^2 A] \}, \\ \phi_{0/1} &= -(1/0.54 \cdot 6^3 A_y^4) \{ [1 + 0.9 \cdot 12A_y^2 (A - D_0)]^{3/2} \\ &\quad - [1 + 0.9 \cdot 18A_y^2 (A - D_0)] \}, \\ \phi_{1/3} &= - [1/6^3 (A_y^2 - A_3^2)^2] \{ [1 + 12(A_y^2 - A_3^2)(A - D_3)]^{3/2} \\ &\quad - [1 + 18(A_y^2 - A_3^2)(A - D_3)] \}, \\ \phi_{m/l} &= -(1/6^3 A_y^4) \{ [1 + 12A_y^2 (A - D_l)]^{3/2} \\ &\quad - [1 + 18A_y^2 (A - D_l)] \} - (1/2A_l) \{ (A_l/6A_y^2) \\ &\quad \times ([1 + 12A_y^2 (A - D_l)]^{1/2} - 1) \}^l, \quad l > 3. \quad (7)\end{aligned}$$

В выражении для $\phi_{m/l}$ второе слагаемое предполагается малым по сравнению с первым (условие слабой анизотропии), по нему производится разложение.

2. Границы между фазами

Приравнивая потенциалы (7) друг к другу, получим выражения для границ между фазами. Приведем выражения соответственно для границ $C-IC$ и $C-C_{0/1}$, которые имеют простой вид

$$A = 0, \quad A = D_0, \quad (8)$$

а также выражения для границ $IC-C_{m/l}$ и $C_{m/l}-C_{m'/l'}$ ($l > 3$), полученные из (7) при условии, что $D_l \ll A$ (и $D_{l'} \ll A$), которое хорошо выполняется,

$$\begin{aligned}D_l &= \{ (A_l/6A_y^2) ([1 + 12A_y^2 A]^{1/2} - 1) \}^{l-1}, \\ D_l - \{ (A_l/6A_y^2) ([1 + 12A_y^2 A]^{1/2} - 1) \}^{l-1} \\ &= D_{l'} - \{ (A_{l'}/6A_y^2) ([1 + 12A_y^2 A]^{1/2} - 1) \}^{l'-1}. \quad (9)\end{aligned}$$

Выражения для других границ приводить не имеет смысла, поскольку это сведется к многократному переписыванию потенциалов (7), приравненных друг к другу (всюду сократится лишь общий множитель 6^3). Заметим, что три границы $C-IC$, $C-C_{0/1}$ (8) и $IC-C_{0/1}$ сходятся в одной точке (LT -точка [5]). Также сходятся в одной точке (как это и должно быть) три другие границы: $IC-C_{1/3}$, $IC-C_{0/1}$ и $C_{1/3}-C_{0/1}$.

3. Термодинамические потенциалы и фазовые границы при малых значениях A

При рассмотрении не слишком больших значений A (5), при которых выполняется условие $A_y^2 A \ll 1$, выражения для потенциалов (7) можно упростить

$$\begin{aligned}\phi_{IC} &= -(1/4)A^2[1 - 2A_y^2 A], \\ \phi_{0/1} &= -(3/8)(A - D_0)^2[1 - (9/5)A_y^2(A - D_0)],\end{aligned}$$

$$\begin{aligned}\phi_{1/3} &= -(1/4)(A - D_3)^2[1 - 2(A_y^2 - A_3^2)(A - D_3)], \\ \phi_{m/l} &= -(1/4)(A - D_l)^2[1 - 2A_y^2(A - D_l)] \\ &\quad - (1/2)A_l^{l-1}(A - D_l)^l[1 - 3A_y^2(A - D_l)], \quad (10)\end{aligned}$$

где вторые слагаемые в квадратных скобках малы по сравнению с единицей.

Приравнивая потенциалы (10) друг к другу, получим выражения для границ между соответствующими фазами

$$\begin{aligned}IC-1/3: \quad & A_3^2 A^2 + 2(A_y^2 - A_3^2)D_3 A \\ & - D_3 - (A_y^2 - A_3^2)D_3^2 = 0, \\ IC-0/1: \quad & A = c_0 D_0 - (c_0 - 1)A_y^2 A^2 \\ & + (9/10)c_0 A_y^2 (A - D_0)^2, \quad c_0 \equiv 3 + \sqrt{6}, \\ 1/3-0/1: \quad & A = c_0 D_0 - (c_0 - 1)D_3 + (9/10)c_0 A_y^2 (A - D_0)^2 \\ & - (c_0 - 1)(A_y^2 - A_3^2)(A - D_3)^2. \quad (11)\end{aligned}$$

Эти выражения можно пытаться и дальше упрощать, используя исходное условие $A_y^2 A \ll 1$. Однако при этом необходимо следить за тем, чтобы три границы (11) по-прежнему сходились в одной точке. Здесь проводить эти упрощения не будем; тем более что все уравнения (11) квадратичны относительно A и, следовательно, легко разрешимы.

Границы $IC-C_{m/l}$ (9) можно представить в виде

$$A = (1/A_l)D_l^{1/(l-1)} [1 + 3A_y^2 (1/A_l)D_l^{1/(l-1)}]. \quad (12)$$

4. Фазовые диаграммы

Согласно (3), величины D_0 и D_l (5) выражаются через B^2 следующим образом:

$$\begin{aligned}D_0 &= 2B^4(B^2 - Q_L^2), \\ D_l &= (B^2 - Q_L^2)[Q_1^2 + 2(B^2 - Q_L^2)]. \quad (13)\end{aligned}$$

Задавая значения B^2 , определяем D_0 и D_l из (13) и A из (7)–(9) или из (11) и (12), что позволяет строить фазовые границы на плоскости D_0-A .

При значении $B^2 = (2/3)Q_L^2$ исчезает минимум мягкой ветви в произвольной точке зоны Бриллюэна. Одновременно теряют смысл величины a и b (A и B). Следовательно, диаграмма D_0-A имеет смысл лишь при значении $D_0 \geq -(2Q_L^2/3)^3$ (см. (13)).

На рис. 1 представлена экспериментальная $T-P$ -фазовая диаграмма, полученная при охлаждении [1]. Теоретическая D_0-A -фазовая диаграмма, построенная по формулам (7) и (11), (12), приведена на рис. 2. Для ее построения использовались параметры

$$\begin{aligned}A_y &= A_3 = 0.6, \quad A_8 = 1.5, \quad A_5 = 0.8, \\ Q_L^2 &= 0.2, \quad Q = 0.5. \quad (14)\end{aligned}$$

Тонкими линиями на рис. 2 показаны границы, построенные по формулам (11), (12), обычными линиями — по формулам (7)–(9). Некоторые границы ($IC-0/1$, $IC-3/8$ и $IC-2/5$) в масштабе рис. 2 не различаются. Другие границы ($IC-1/3$ и в особенности $1/3-0/1$) существенно различаются, и это различие возрастает с ростом A . Заметим, что граница $C_{2/5}-C_{1/3}$ заметно отклоняется от границы $IC-C_{1/3}$ (в отличие от границ $C_{3/8}-C_{1/3}$ и $IC-C_{1/3}$). Чтобы подчеркнуть это отклонение, граница $IC-C_{1/3}$ проведена пунктиром.

При построении $T-P$ -фазовой диаграммы на основе D_0-A -диаграммы предполагаем линейную зависимость коэффициентов D_0 и A от T и P . Тогда оси T и P на рис. 2 будут прямыми линиями. Их позиция и ориентация показаны на рис. 2.

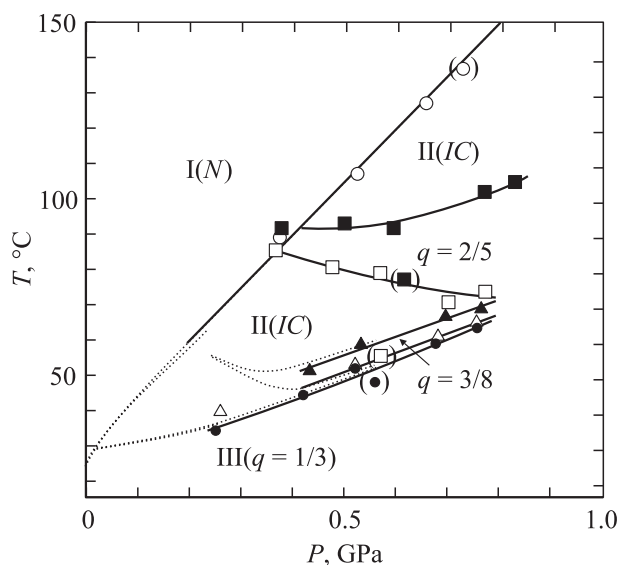


Рис. 1. Экспериментальная $T-P$ -фазовая диаграмма, полученная при охлаждении [1]. Пунктиром показаны диаграммы, представленные в [2–4].

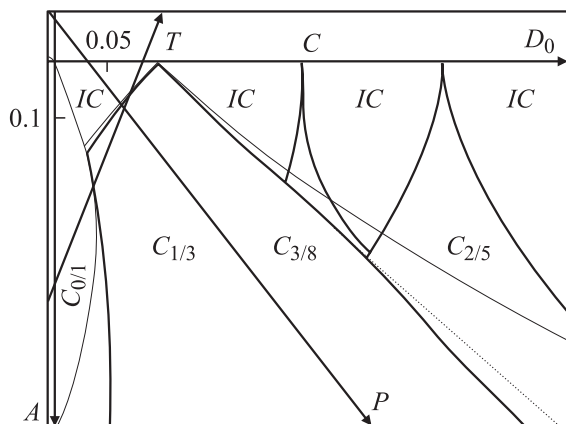


Рис. 2. Теоретическая фазовая диаграмма на плоскости D_0-A . Также показаны оси T и P .

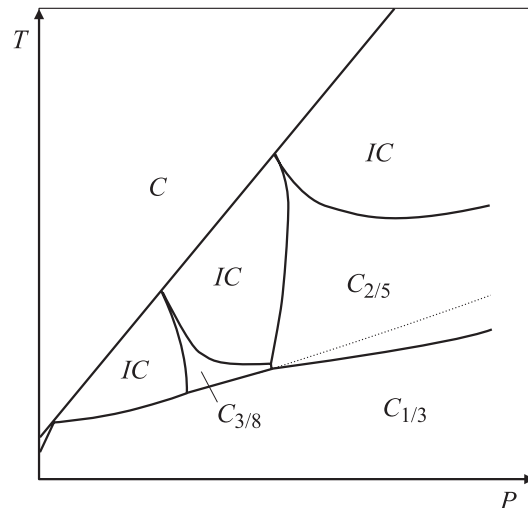


Рис. 3. Теоретическая $T-P$ -фазовая диаграмма, полученная на основании D_0-A -диаграммы (рис. 2).

На рис. 3 представлена теоретическая $T-P$ -фазовая диаграмма. Между диаграммами на рис. 1 и 3 имеется согласие в области, близкой к фазовому переходу $C-IC$. Однако в области, близкой к фазовому переходу $IC-C_{1/3}$, на рис. 1 (как и на диаграммах в [2–4]) наблюдается сильная нелинейность. На рис. 3 такой нелинейности нет. Возможно, это связано с тем, что для IC -фазы использовалось одногармоническое приближение. Приближения и предположения, сделанные при построении теоретических диаграмм, приведены в [5].

Список литературы

- [1] T. Asahi, K. Izutsu. J. Phys. Soc. Jpn. **72**, 2, 330 (2003).
- [2] S. Shimomura, H. Terauchi, N. Hamaya, Y. Fujii. Phys. Rev. B **54**, 10, 6915 (1996).
- [3] K. Gesi. J. Phys. Soc. Jpn. **65**, 6, 1963 (1996).
- [4] K. Gesi. Кристаллография **44**, 89 (1999).
- [5] Д.Г. Санников. ФТТ **42**, 12, 2213 (2000).
- [6] H. Mashiyama, G.A. Kessenikh, D.G. Sannikov. Ferroelectrics **283**, 109 (2003).
- [7] D.G. Sannikov, G.A. Kessenikh, H. Mashiyama. J. Phys. Soc. Jpn. **69**, 1, 130 (2000); **71**, 6, 1435 (2002).
- [8] D.G. Sannikov, H. Mashiyama. J. Phys. Soc. Jpn. **71**, 7, 1698 (2002); **72**, 6, 1423 (2003).